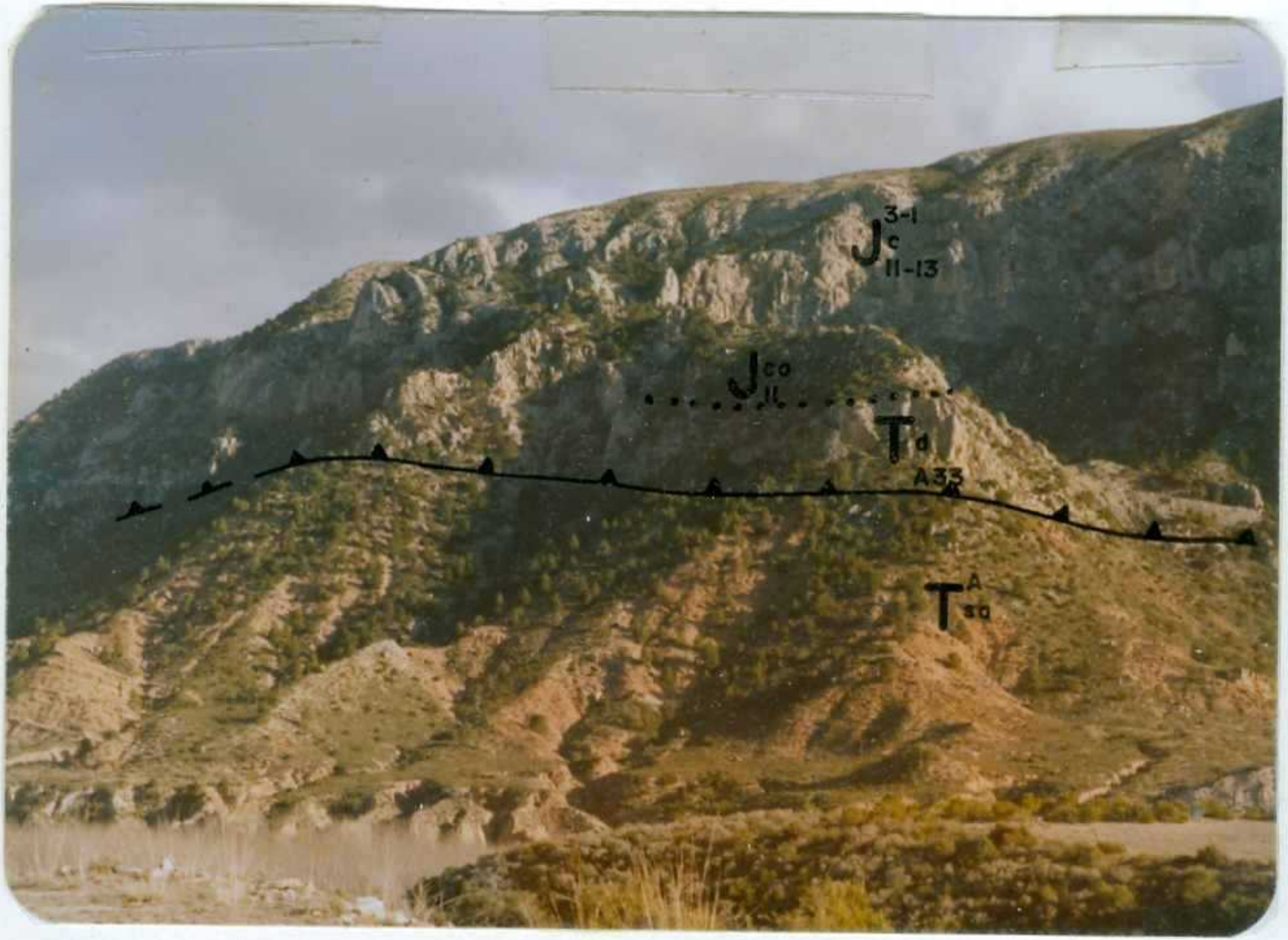


Fot. 701.- Vista general de las formaciones triásicas y liásicas, en el flanco N de la "Sierra de los Arcos".



Fot. 702.-Cabalgamiento de las formaciones jurasicas sobre las series detríticas del Paleogeno.



Fot. 703.- Detalle de cabalgamiento, de poca magnitud, entre los materiales triásicos de facies Keuper; se observa en la parte superior (1) los materiales horizontales, y en la inferior buzantes hacia el S.



Fot. 704.-Domo triásico de Moneva, en el que pueden apreciarse las arcillas del Trias superior y las dolo - mias del Rethiense.



Fot. 705.- Vista del Trias superior y Rethiense desde la " Sierra de los Arcos", también se observan boques deslizados de las dolomias del citado Rethiense y dos de las terrazas quaternarias.



Fot. 706.- Anticlinales en Trias superior, arcillas y dolomias del Rethiense, entre Muniesa y Plou.



Fot. 707.- Vista general de las carniolas del Hettangiense en la "Sierra de los Arcos".



Fot. 708.- Detalle de las carniolas de la formación del Hettangiense, foto tomada en el mismo lugar.



Fot. 709.- Detalle de la formación anterior, en la que se aprecian unos "slumpings" rotos en dolomías que lateralmente pasan a carniolas.

Fot. 710. 711.- Vista general y de detalle de las calizas litográficas del Sinemuriense, fotos tomadas en la "Sierra de los Arcos".





Fot. 710. 711.- Vista general y de detalle de las calizas litográficas del Sinemuriense, fotos tomadas en la "Sierra de los Arcos".



Fot. 712.?.- Nautilus en las calizas de aspecto arriñonado del Pliensbachiense.



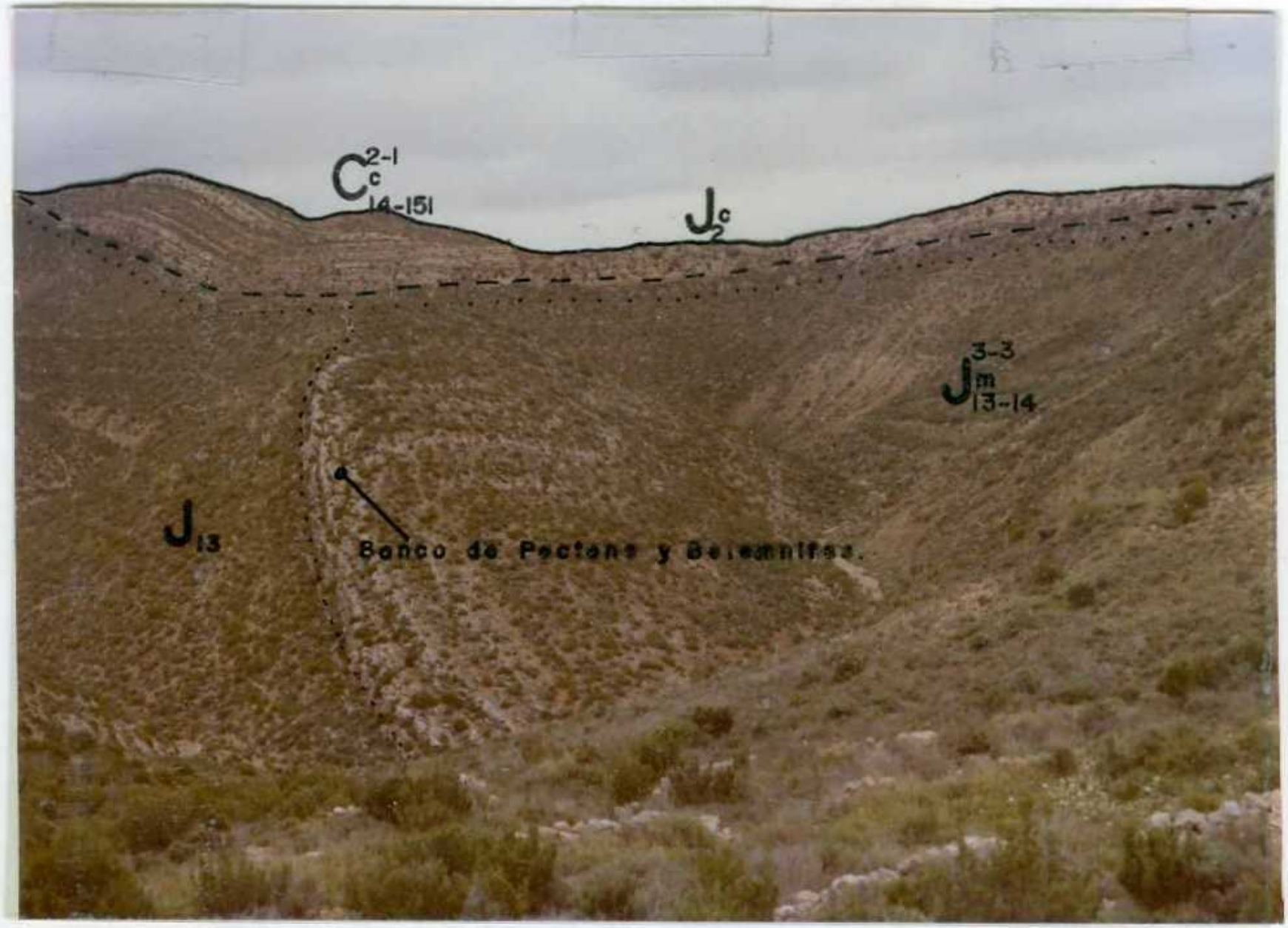
Fot. 713. .- Bancos de calizas arriñonadas con abundantes Pectens y Belemnites del techo de la formación del Plienbachiense.



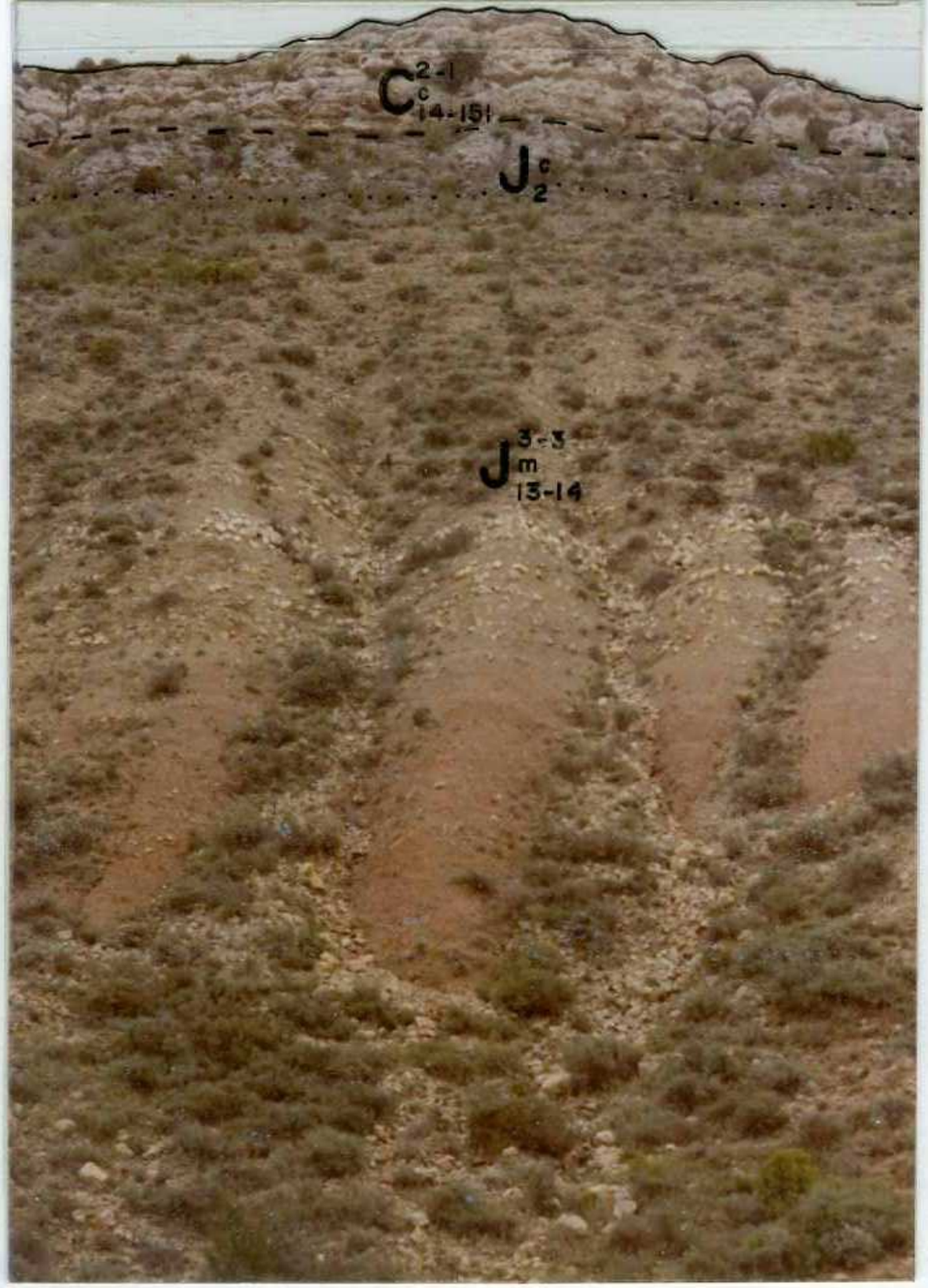
Fot. 714. Detalle de la lumaquela de Pectens - y Belemnites, en el techo de la formación del Piensbachiense.



Fot. 715.- Vista general de las formaciones del Pliensbachiense, Toarciense, Dogger y Aptiense en - la "Sierra de los Arcos".



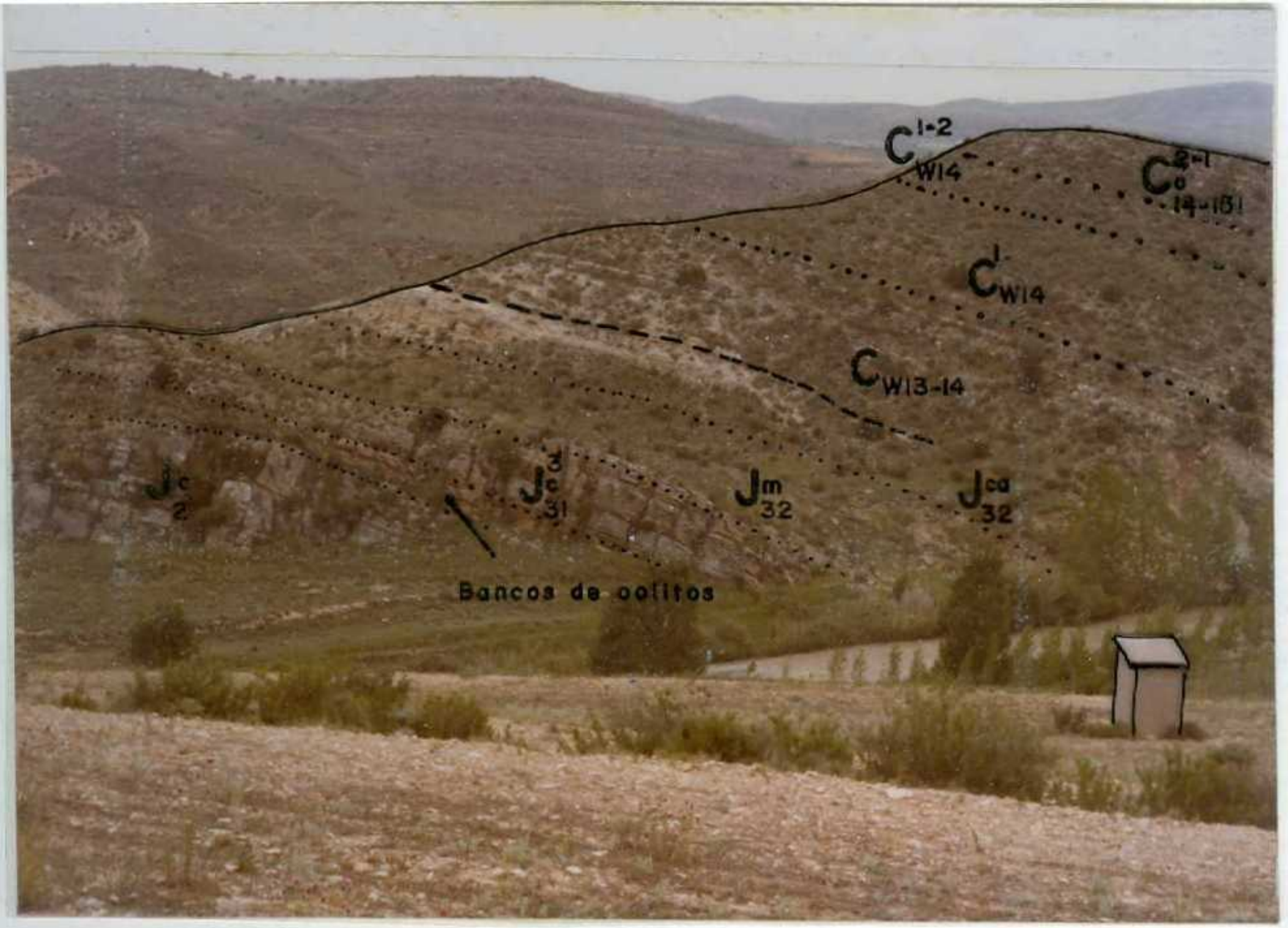
Fot. 716..- Fotografía análoga a la anterior, pero en sentido contrario, hacia el E, de las mismas formaciones, también se señala el banco de Pectens y Belemnites del techo del Pliensbachiense.



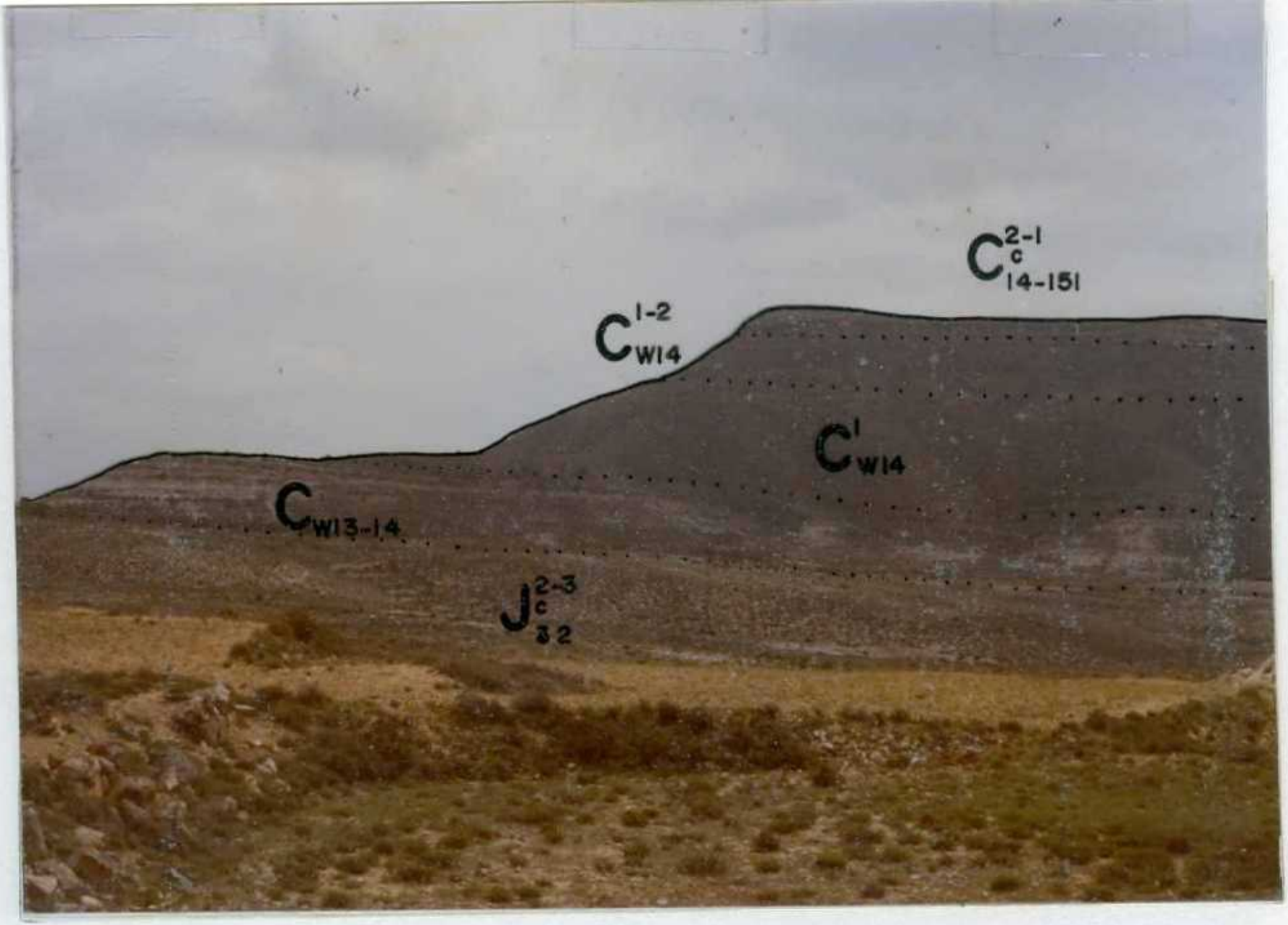
Fot. 717.- Foto con mayor detalle de las formaciones del Toarciense, Dogger y Aptiense en el mismo lugar que las anteriores.



Fot. 718.- Detalle de los niveles de oolitos ferruginosos y abundante fauna de Ammonites del techo del Dogger.



Fot. 719.- Vista general de las formaciones que se detallan en la fotografía y de los niveles de - oolitos ferruginosos, en el corte de la "Venta de S. Pedro", igual que el anterior.



Fot. 720.- Vista general de las formaciones del Weald, en el pico Escoz.



Fot. 721.- Margas y calizas blancas del tránsito Jurásico-Cretácico, foto tomada desde el pico - Escoz.



Fot. 722.- Arenas y areniscas del Weald superior en el pueblo de Alacón, los orificios son bodegas excavadas en las mismas. Encima las calizas del Aptiense.



Fot. 723.- Lumaquela de Ostreas de la base del Aptense, foto tomada en la Sierra de Arcos.



Fot. 724.- Panorámica del pueblo de Ariño enclavado sobre las calizas del Áptense, también se aprecian las figuras que dibuja la erosión sobre las citadas calizas en la "Sierra de los Arcos".



Fot. 725.- Alternancia de margas y calizas bio-detríticas del Aptiense superior , foto tomada en el km 28 de la carretera Oliete-Muniesa.



Fot. 726.- Vista general del valle de Ariño, hacia el W, en la que se aprecian, además del pueblo de Ariño, las calizas del Aptiense, las facies Utrillas del Albiense y el Paleogeno discordante.



Fot. 727.- Panorámica del valle de Ariño-Andorra, en dirección E, se observan las calizas del Aptiense, las arcillas y areniscas del Albiense y la formación discordante del Paleogeno.



Fot. 728.- Estratificaciones cruzadas en las areniscas de la base de las facies Utrillas, foto tomada en el valle de Ariño.



Fot. 729.- Aspecto de detalle de las arcillas carbonosas y de las "porcelanitas"de la base del "Utrillas".



Fot. 730.- Vista desde la "Sierra de los Arcos", del valle de Ariño, con las explotaciones de lignitos en las facies Utrillas, en segundo plano el Paleogeno con tonalidades más rojizas.



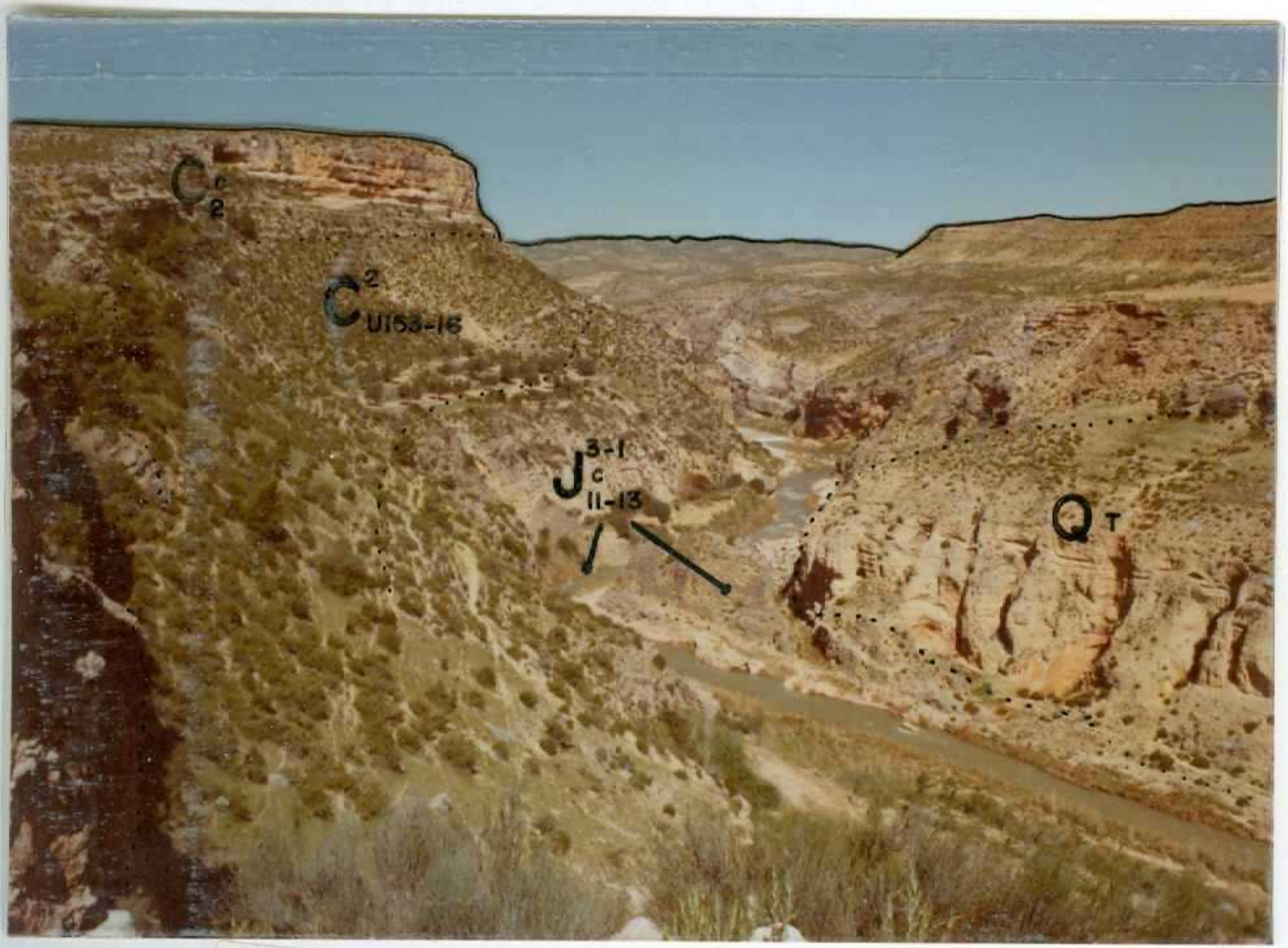
Fot. 731.- Detalle de las capas carbonosas en la explotación a cielo abierto de las minas de Ariño.



Fot. 732.- Panorámica de la anterior, en ésta se observa mejor la alternancia de las capas carbonosas con otras de - arenas y arcillas, así como la forma de explotación de estas capas.



Fot. 733.- Detalle de la discordancia del Paleogeno sobre el Albiense con facies Utrillas.



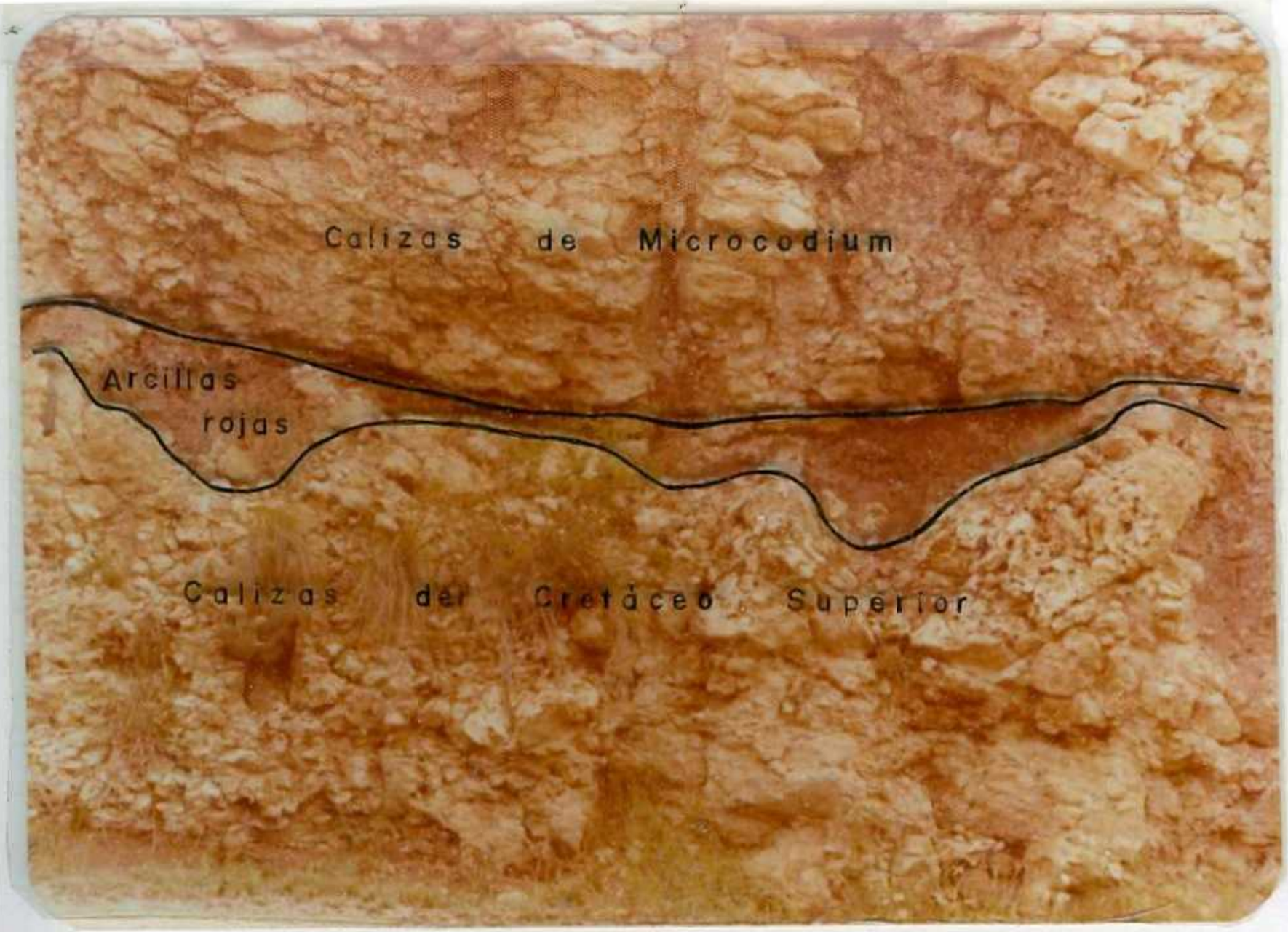
Fot. 734.- Panorámica de las formaciones del Jurásico superior, Albiense y Cretácico superior en el Rio Martín.



Fot. 735.- Vista general del afloramiento - del Cretácico superior en el puente sobre el - Rio Martín.



Fot. 736.- Otro aspecto de la anterior tomada lateralmente.



Fot. 737.- Aspecto general del microkarst - formado sobre las calizas del Cretácico superior, se pueden observar las arcillas rojas y colonias de Microcodium. Foto tomada junto al puente sobre el Rio Martín.



Fot. 738.- Detalle de la anterior, en la que se puede observar el microkarst y las colonias de Mocrocodium tapizandolo.



Fot. 739. .- Aspecto de mayor detalle de las - colonias de Microcodium sobre las calizas del Cretácico superior.



Fot. 740.- Foto en la que se muestra cómo el Microcodium utiliza las fisuras y otras superficies de discontinuidad para alimentarse de las calizas marinas.



Fot. 741.- Otro aspecto, en el que se observa que el Microcodium llega a rodear por completo un trzo de la caliza



Fot. 742..- Aspecto de las formaciones de arenas y arcillas rojas del Paleogeno, se observa también la deformación por efecto de la carga, a gran escala, de los bancos competentes sobre los más blandos.



Fot. 743.- Detalle de las arenas más o menos calcáreas alternantes con margas, que se depositan en forma de paleocauce sobre arcillas y margas inferiores. Mioceno inferior-medio de la zona W de la Hoja.



Fot. 744.- Alternancia de conglomerados y arenas más o menos arcillosas, en el Mioceno inferior-medio junto al pueblo de Moneva.



Fot. 745.- Vista general, en el pantano de - Moneva, de las areniscas y conglomerados alter - nantes con niveles más blandos del Mioceno infe- rior-medio.



Fot. 746.- Sinemuriense cabalgante y fosilizado por la formación detrítica del Mioceno inferior-medio.